

FIG. 3A

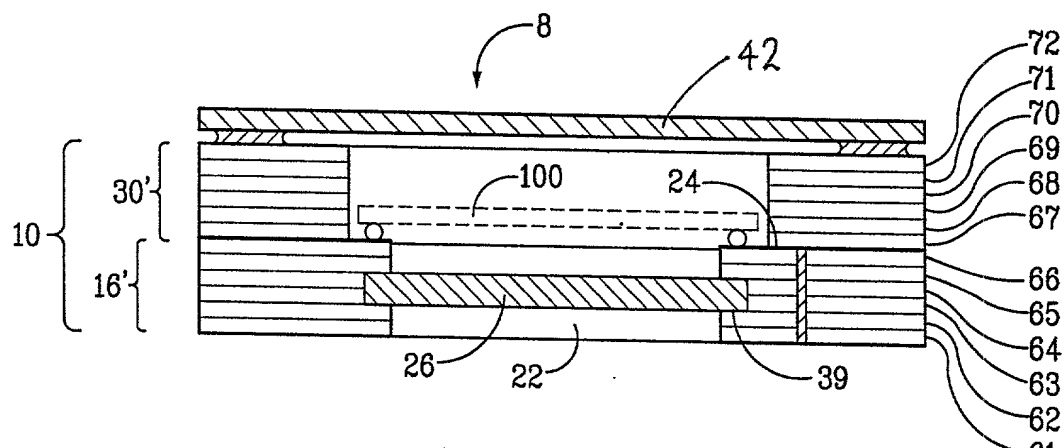


FIG. 3B

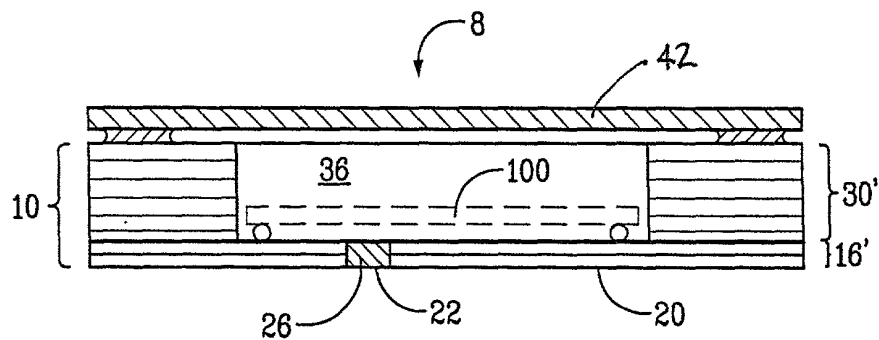


FIG. 4A

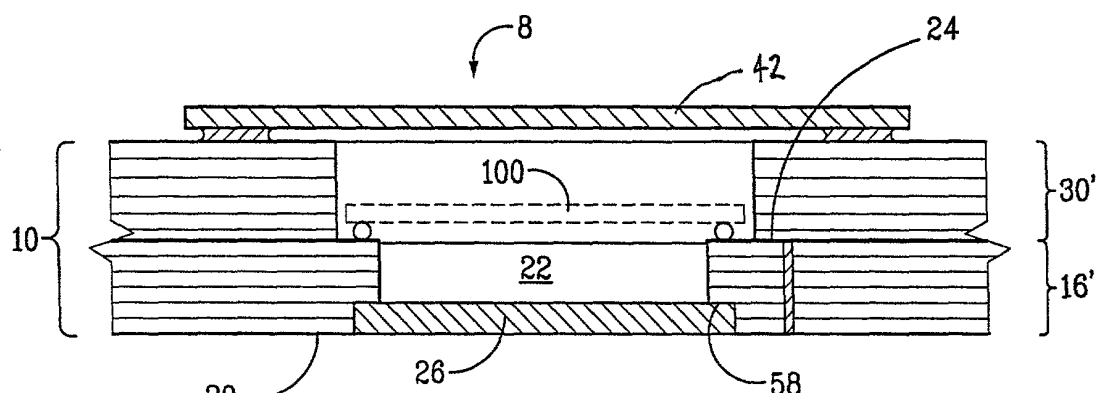


FIG. 4B

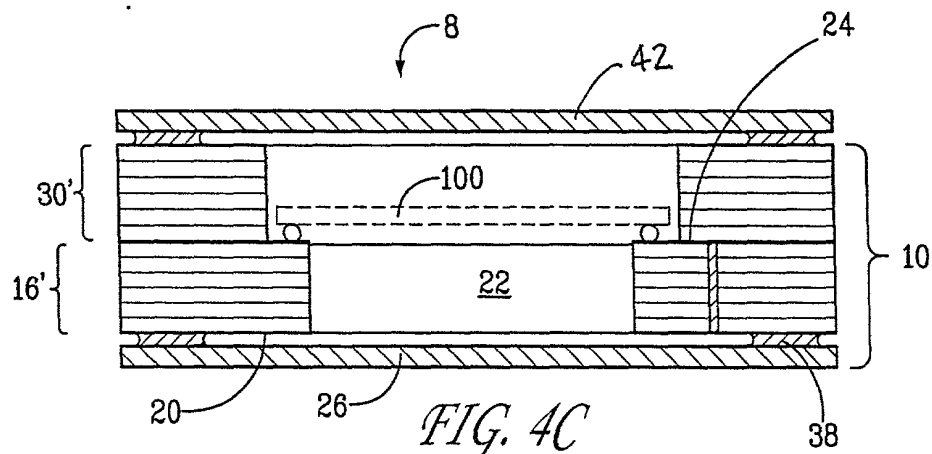


FIG. 4C

FIG. 5

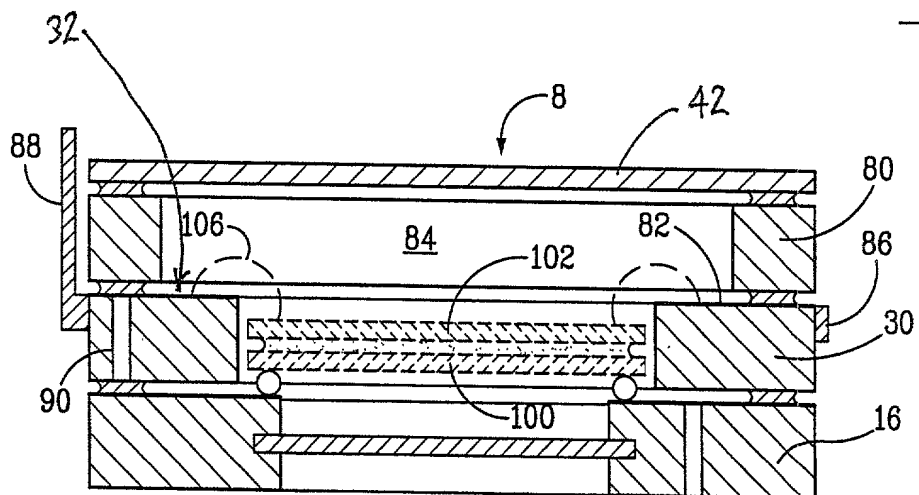


FIG. 6A

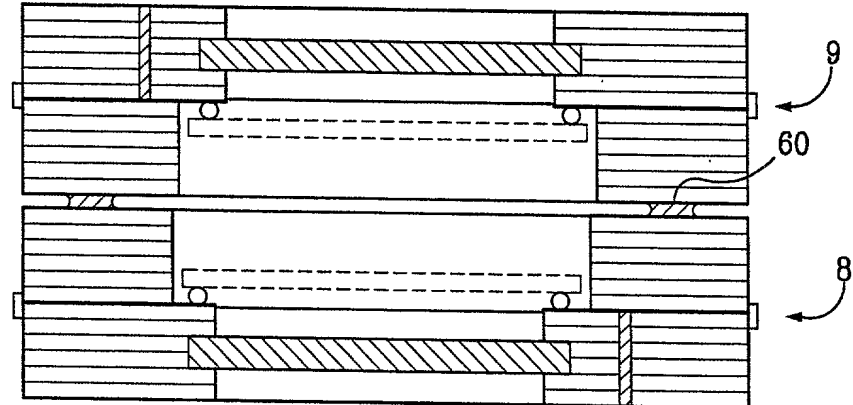


FIG. 6B

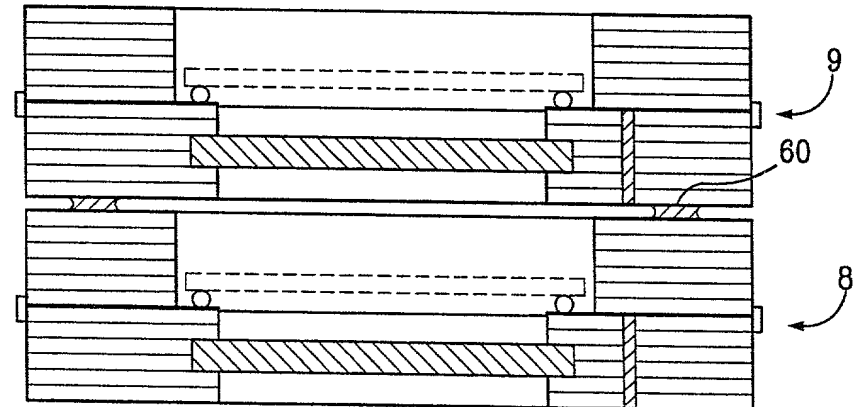


FIG. 6C

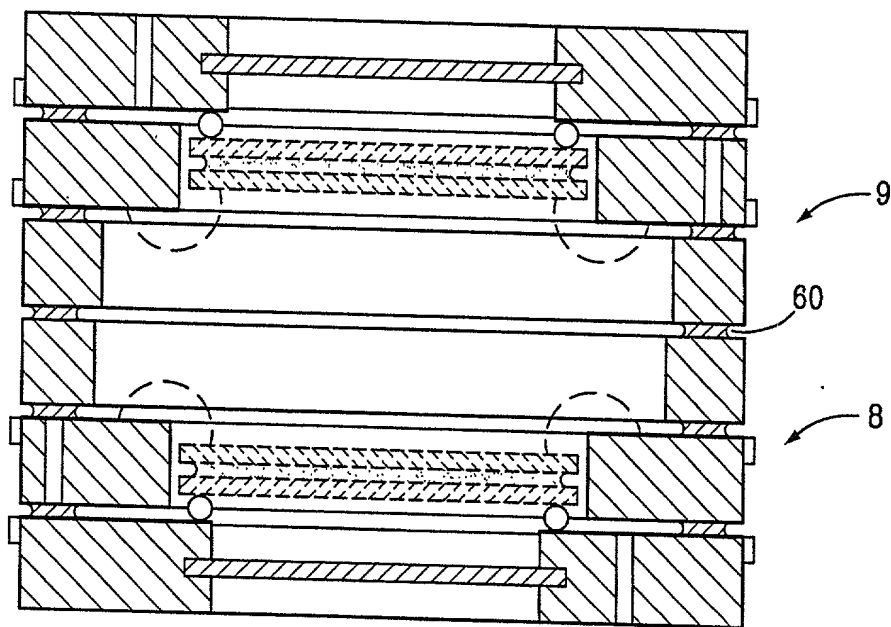
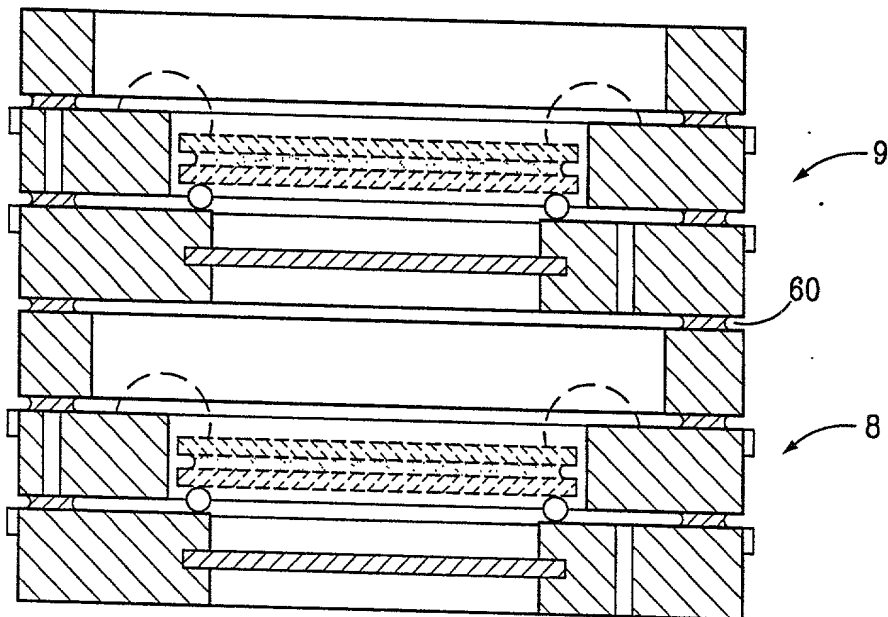
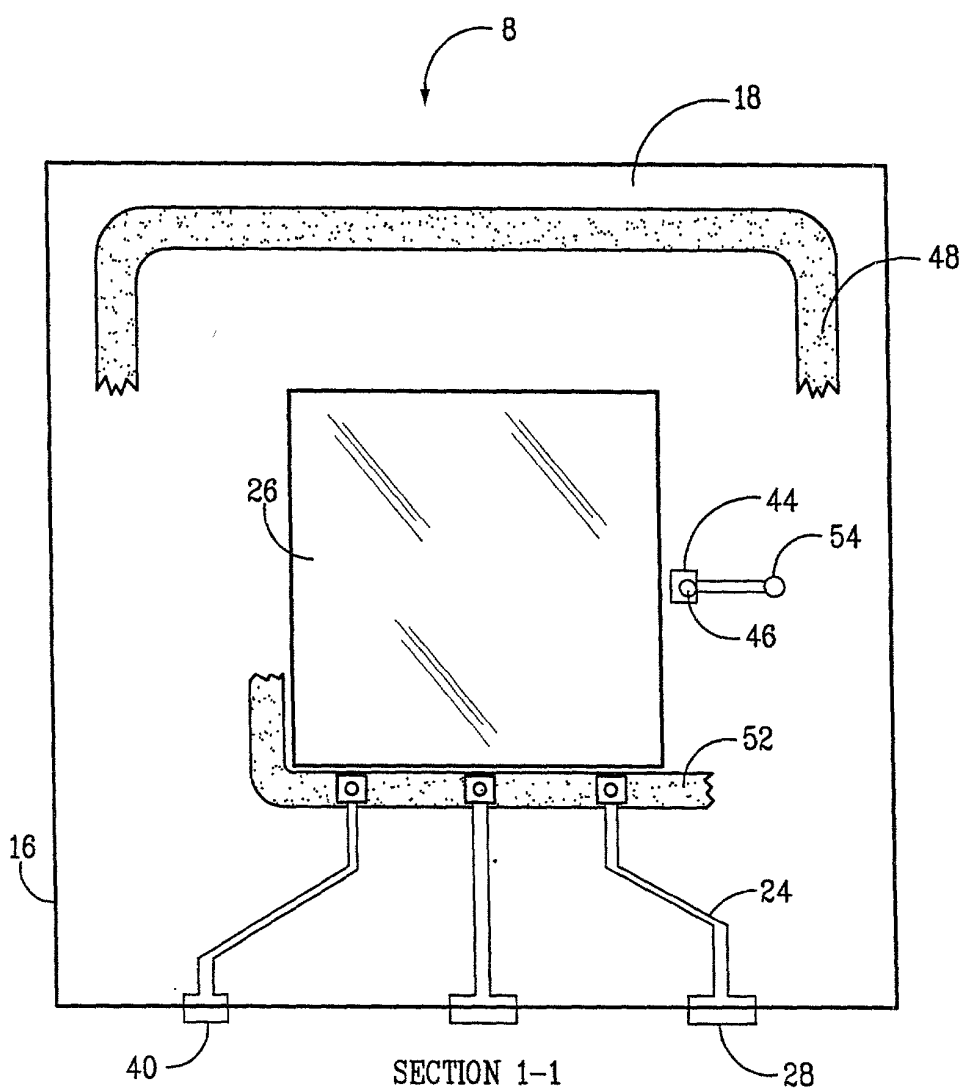


FIG. 6D



K.A. Peterson and R.D. Watson, SD-7121

FIG. 7



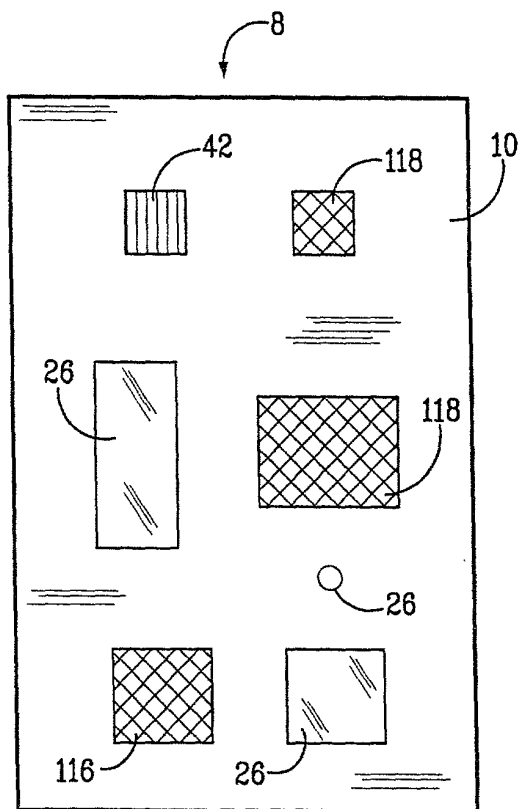


FIG. 8

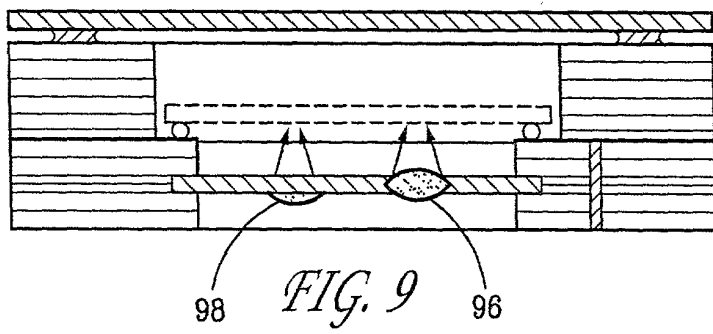


FIG. 9

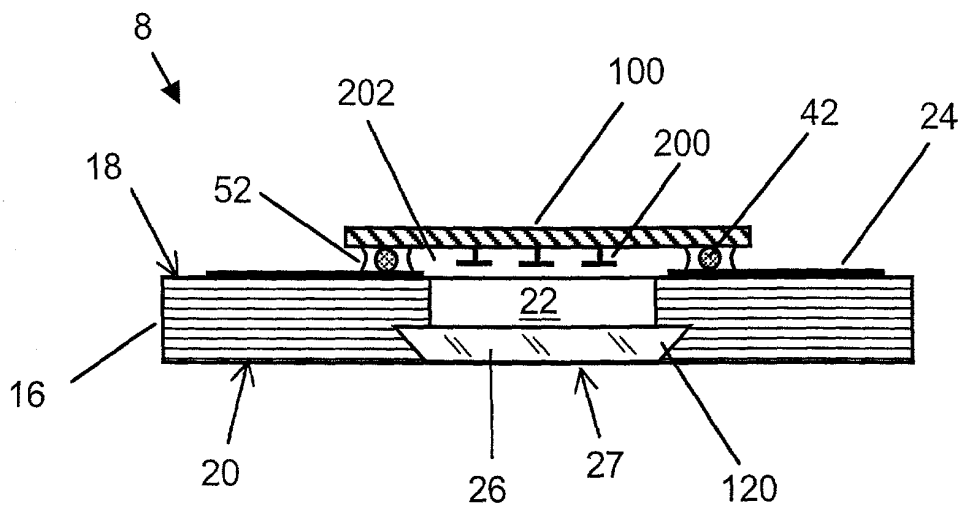


FIG. 10A

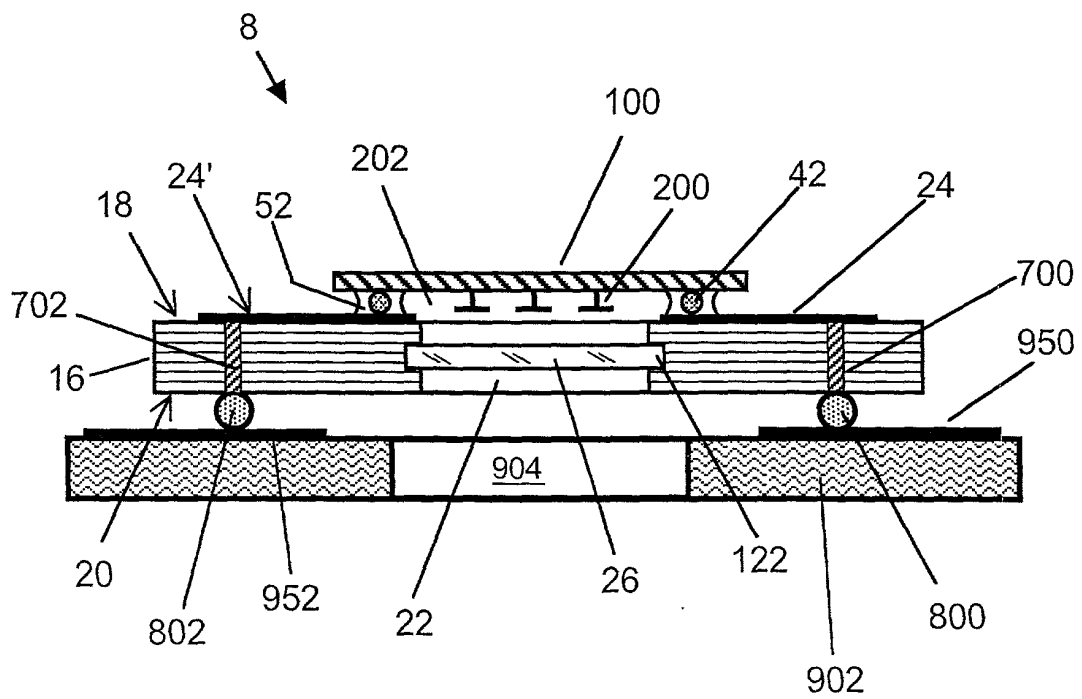


FIG. 10B

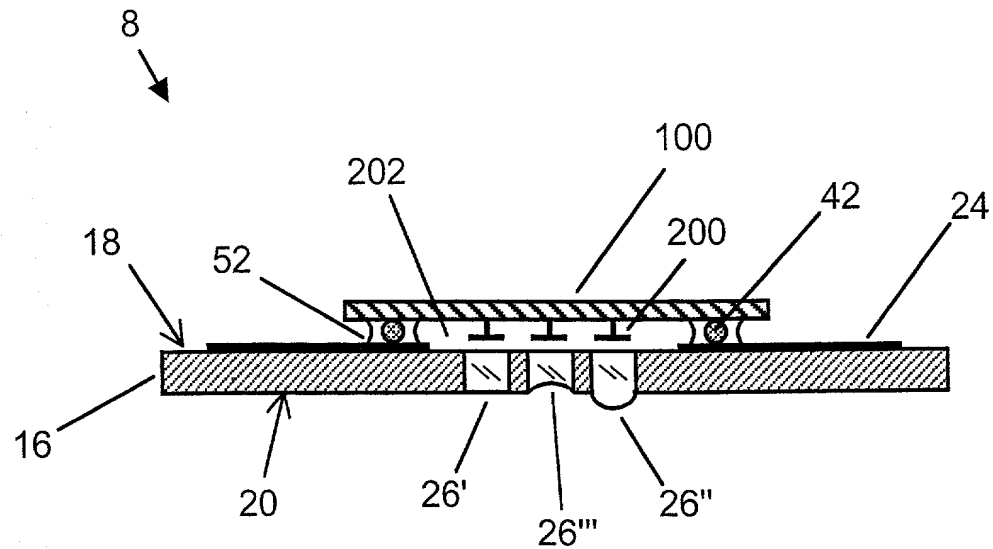


FIG. 10C

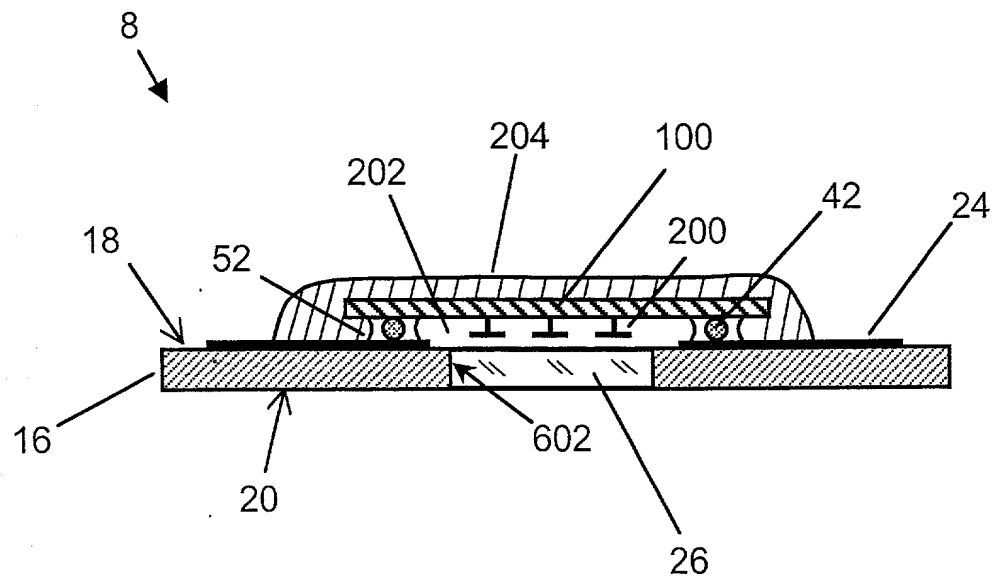


FIG. 10D

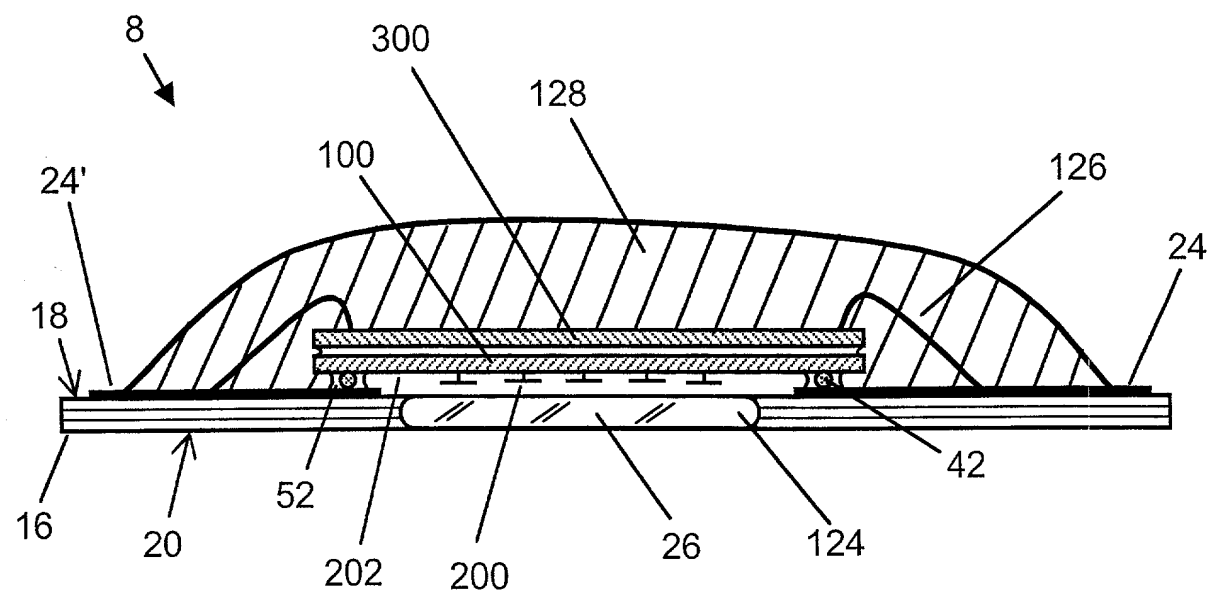


Fig. 11

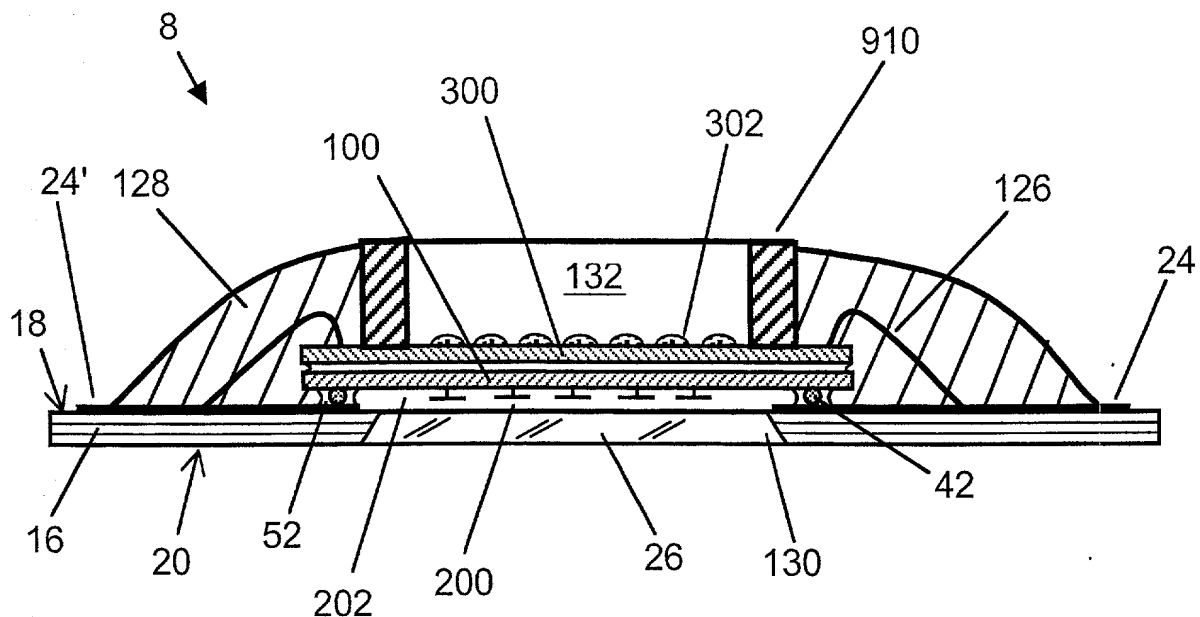


Fig. 12A

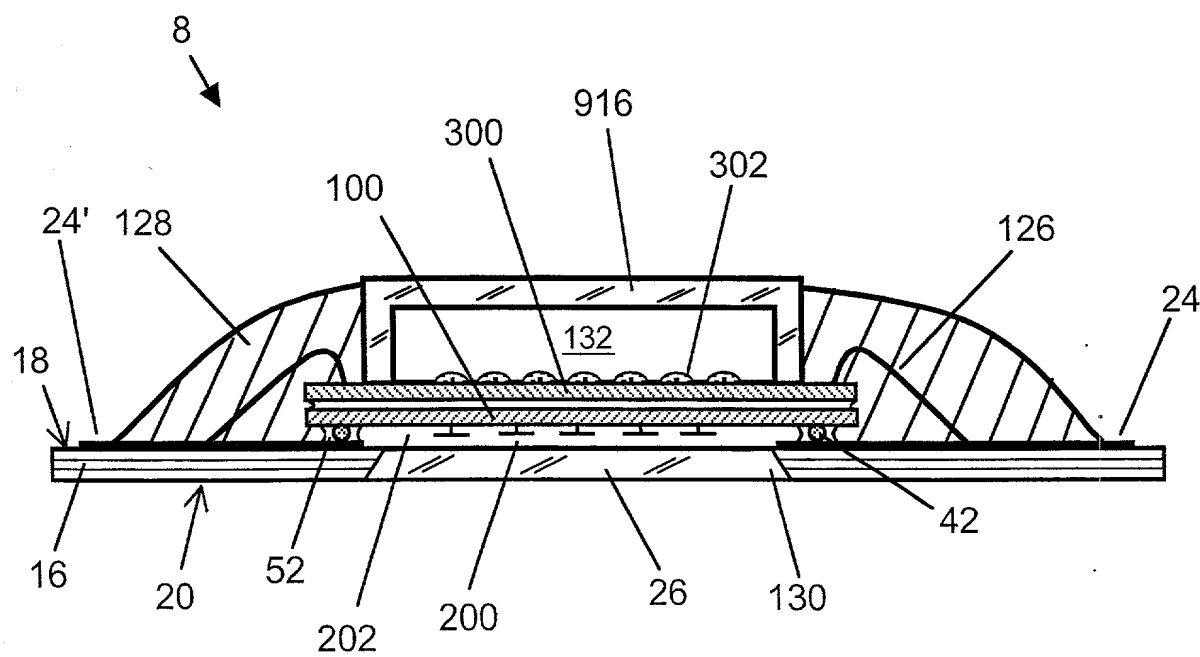


Fig. 12B

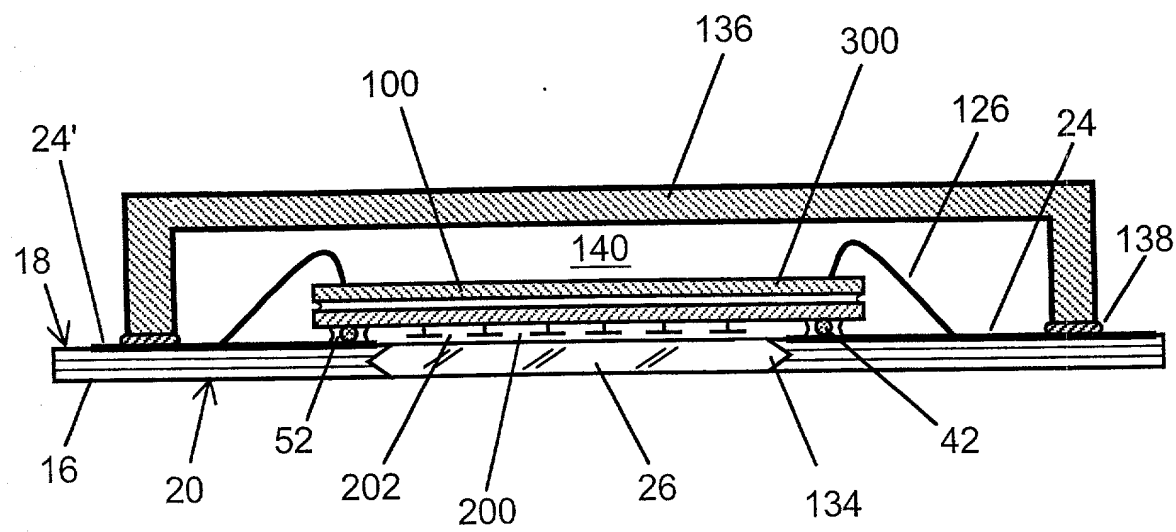


Fig. 13

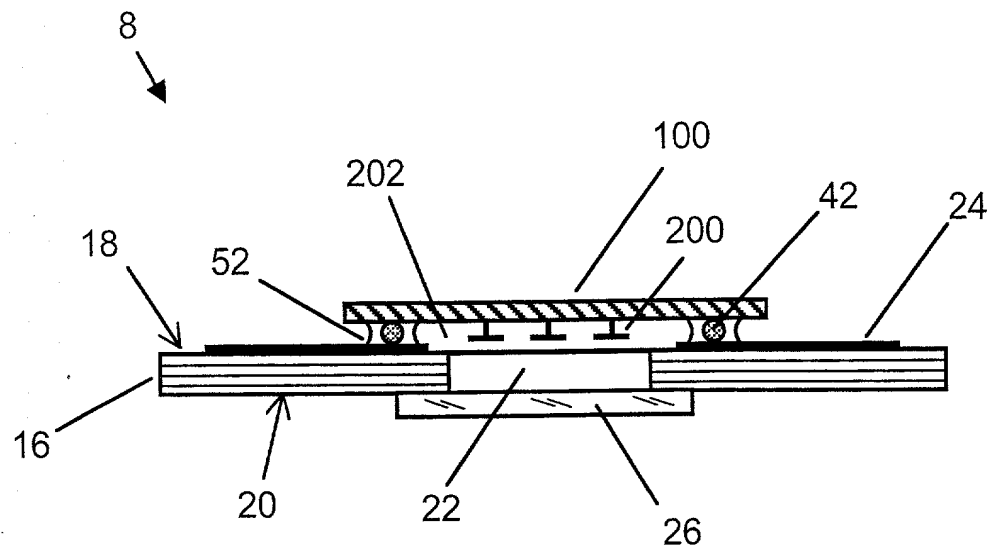


FIG. 14A

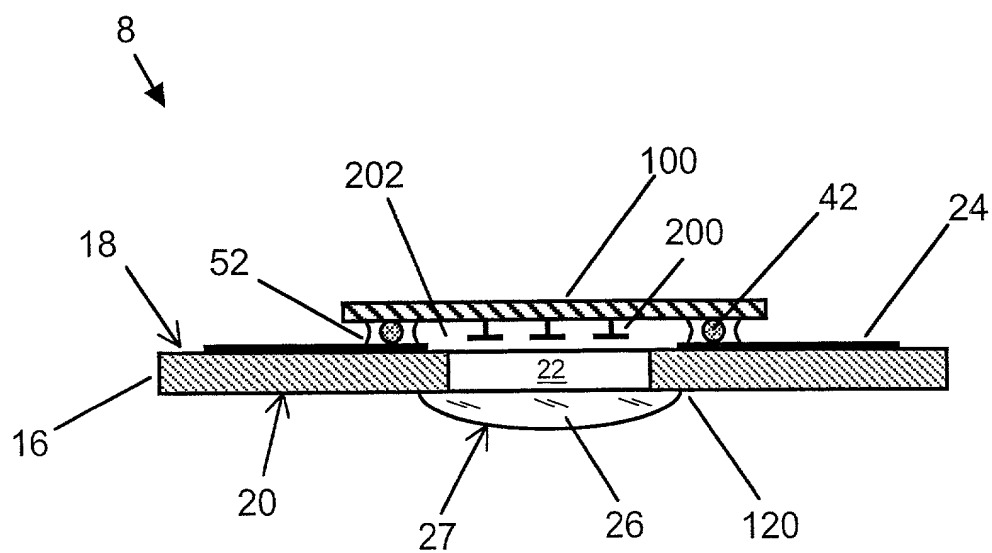


FIG. 14B

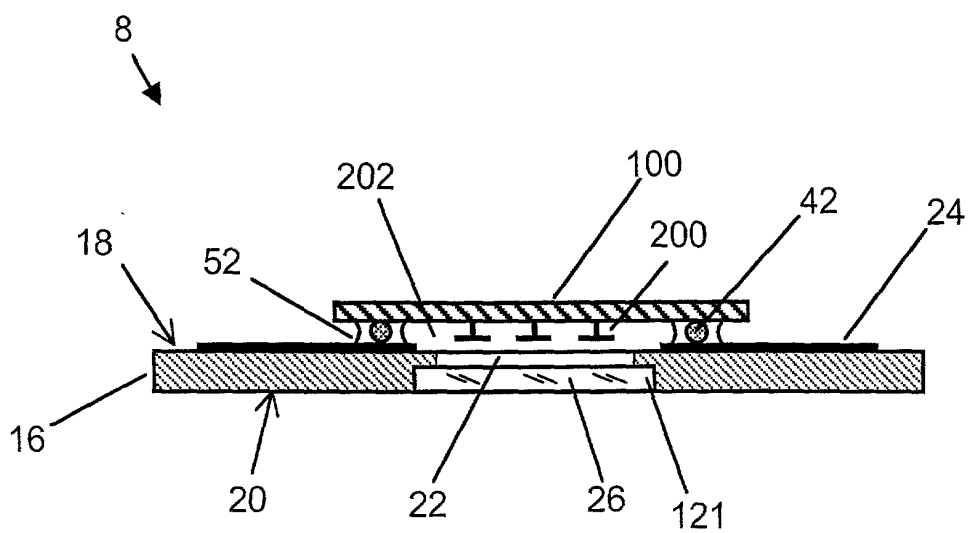


FIG. 14C

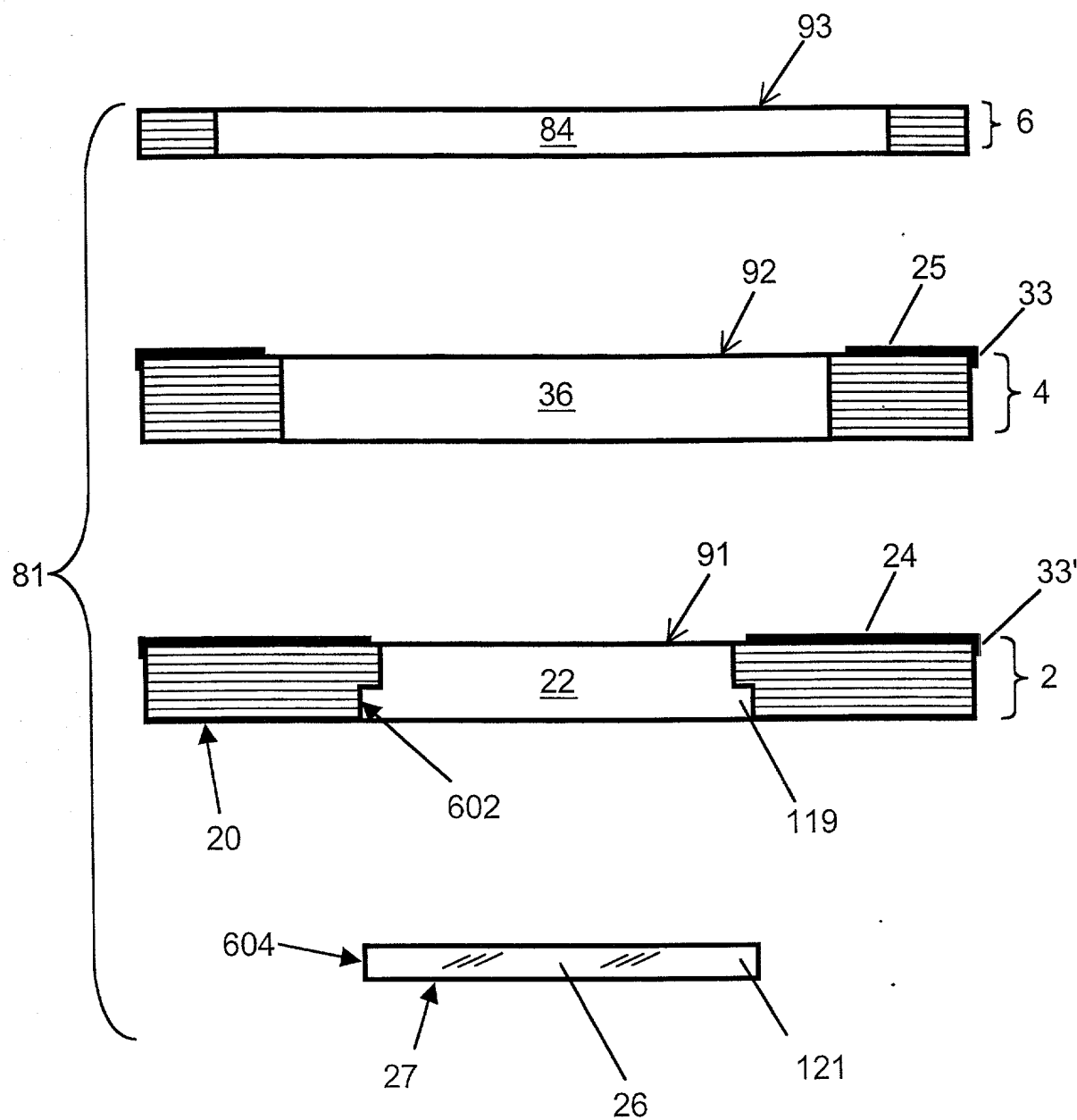


Fig. 15A

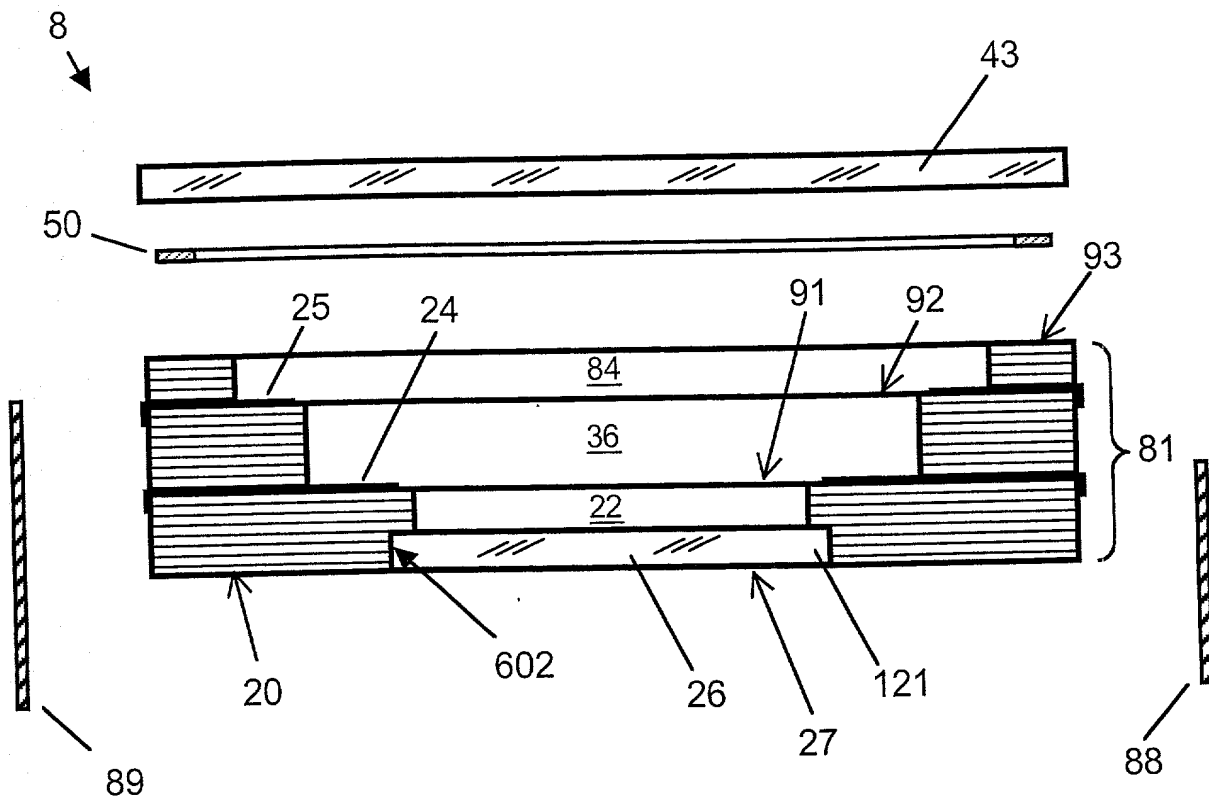


Fig. 15B

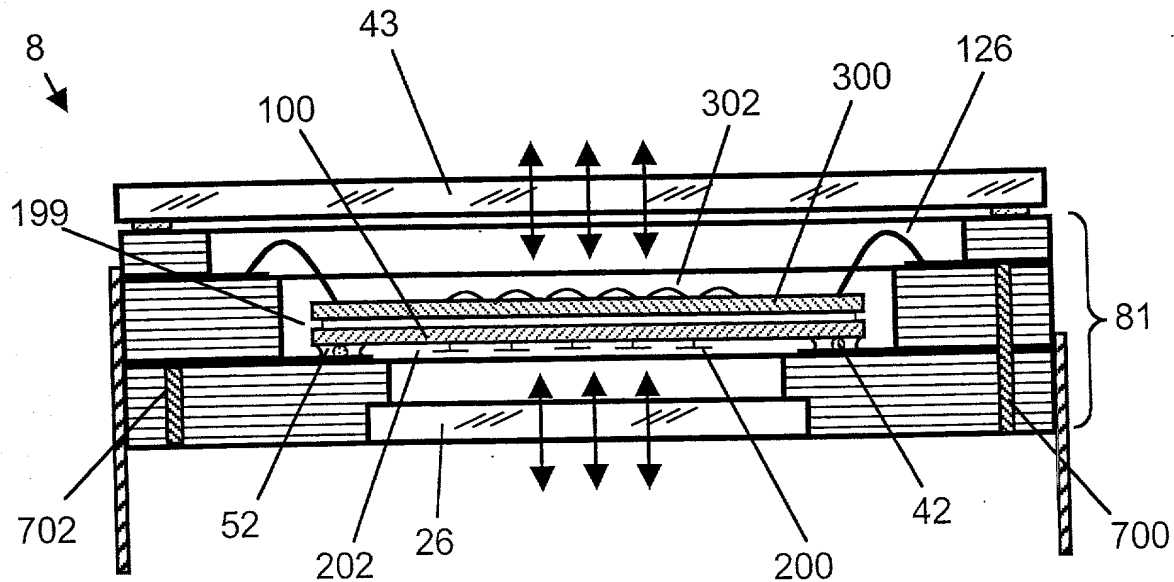


Fig. 15C

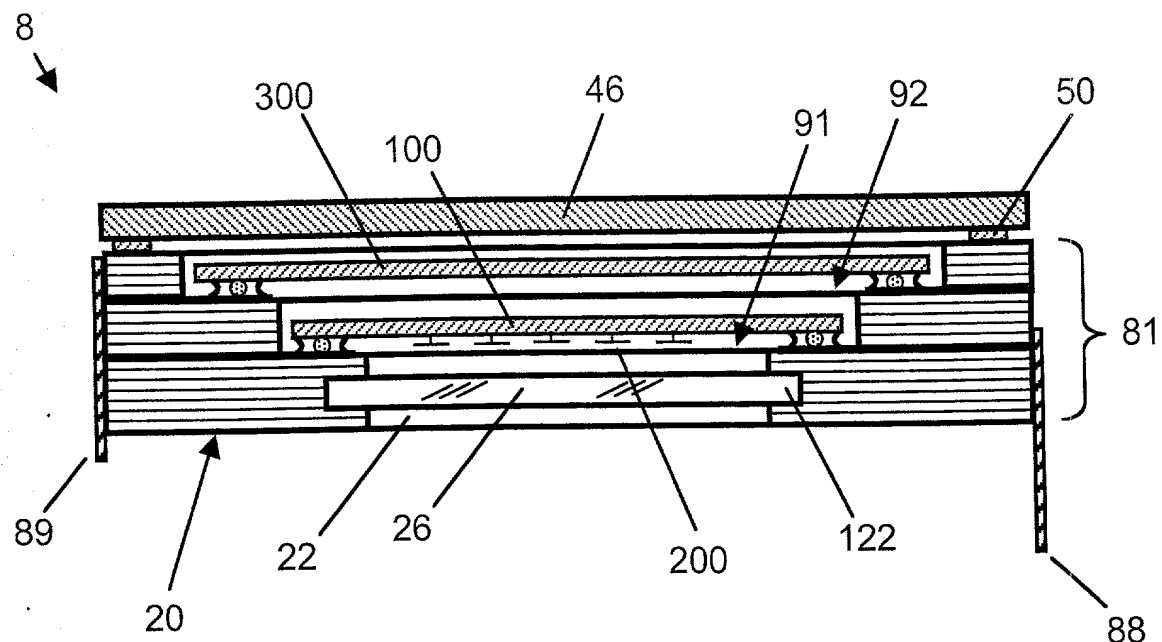


Fig. 16

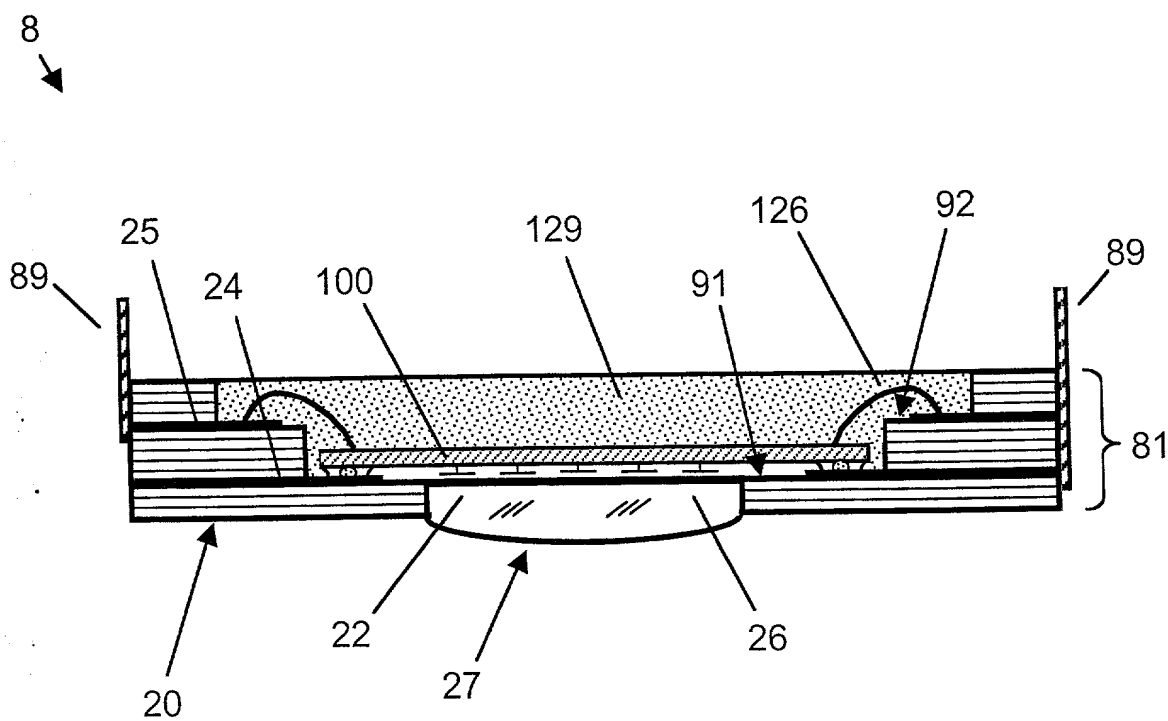


Fig. 17

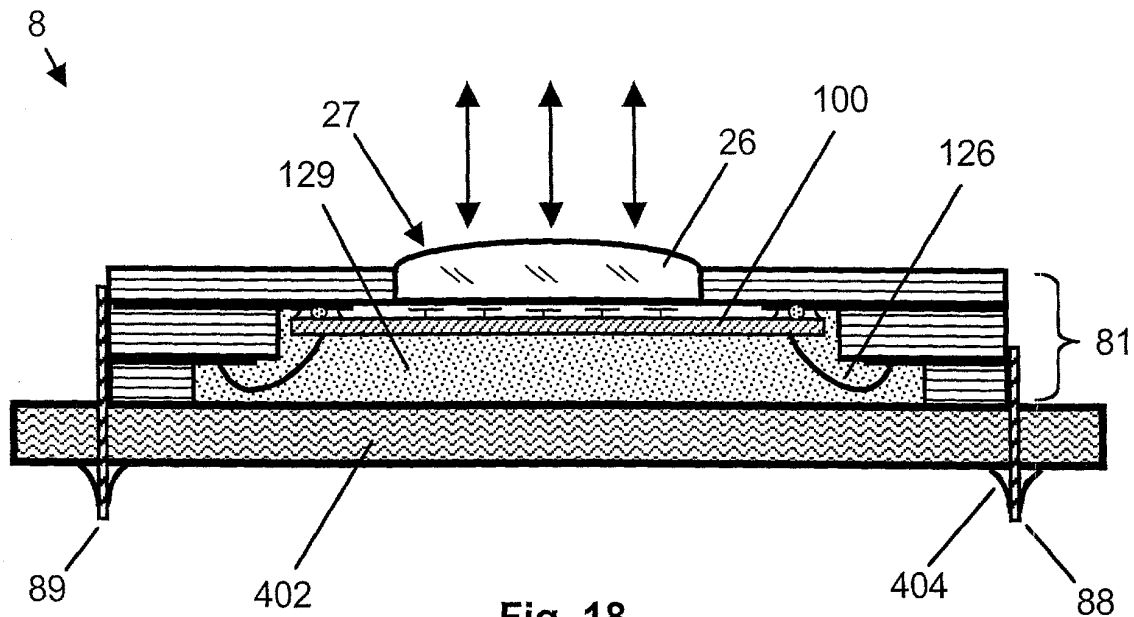


Fig. 18

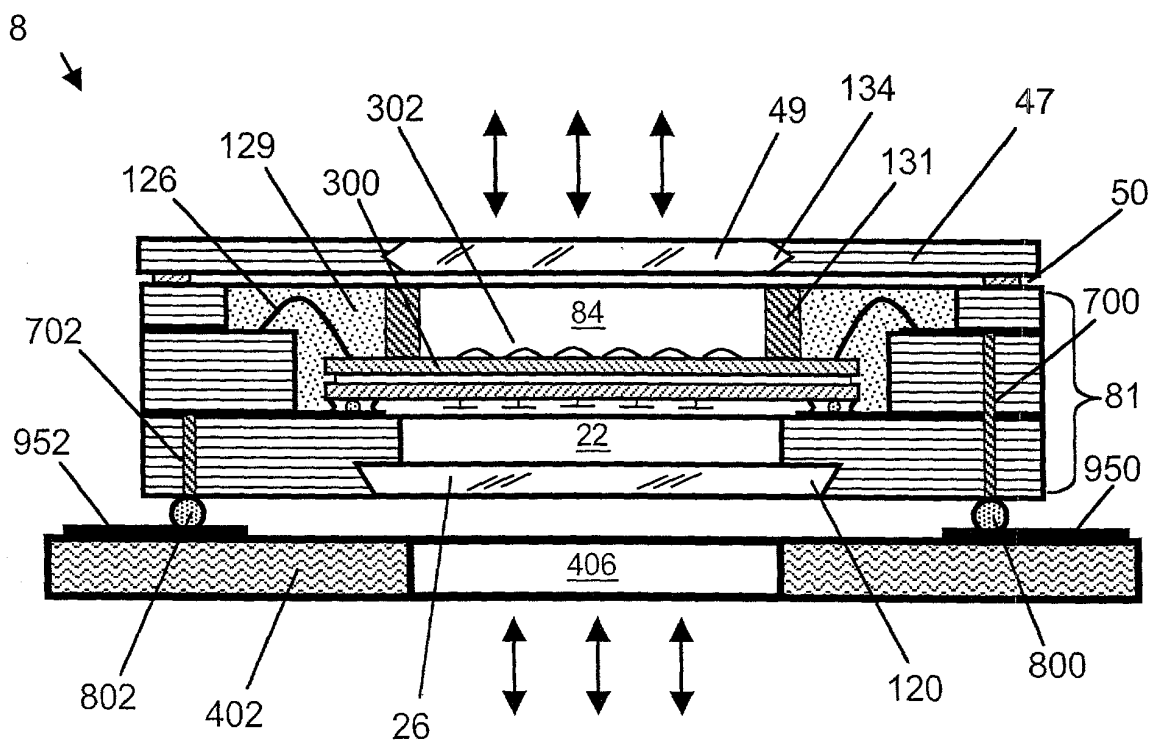


Fig. 19

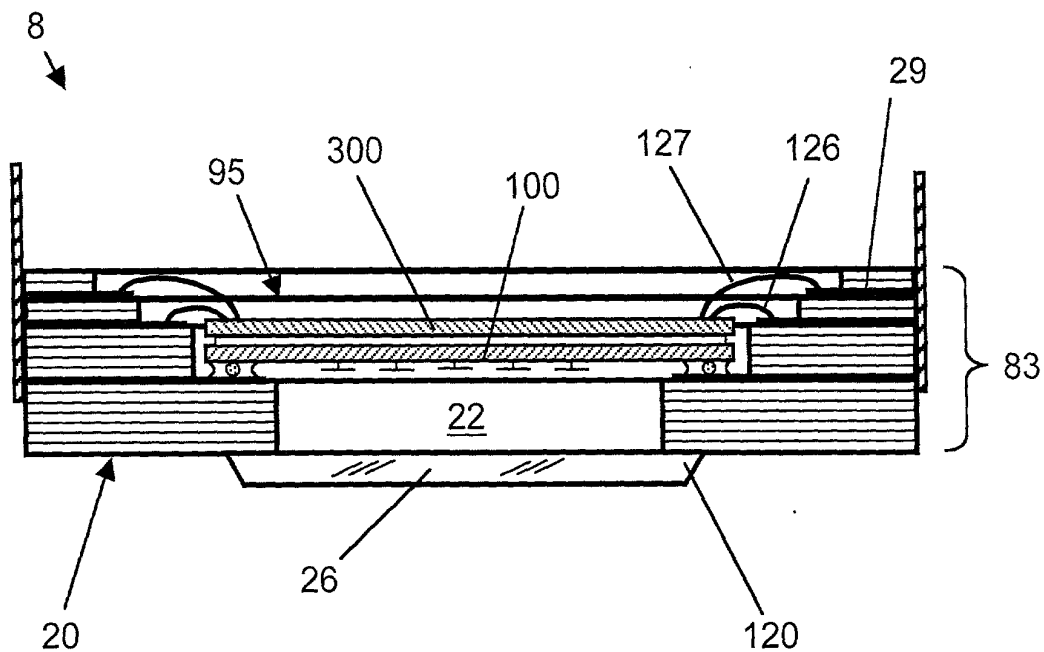


Fig. 20

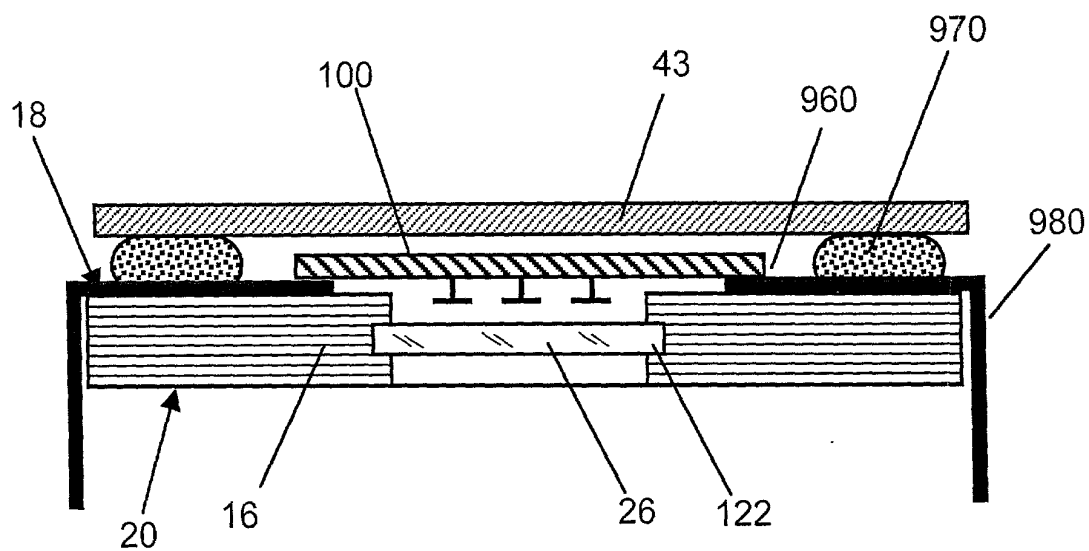


Fig. 21